

- [11] M. Schindehutte, P. H. van Rooyen, S. Lotz, *Organometallics* **1990**, *9*, 293.
- [12] IR- und NMR-Spektren des für die Strukturanalyse verwendeten Kristalls ergaben für das hauptsächlich gebildete Isomer von **5c** eine *faciale* Ligandenanordnung; vermutlich hat das in geringerer Menge gebildete Isomer eine *meridionale* Ligandenanordnung am Mn²⁺.
- [13] Beispiele für die Methylierung des Schwefelatoms in Metallacyclen vom Typ **2** finden sich bei: C. Bianchini, P. Frediani, V. Herrera, M. V. Jiménez, A. Meli, L. Rincón, R. Sánchez-Delgado, F. Vizza, *J. Am. Chem. Soc.* **1995**, *117*, 4333 zit. Lit.
- [14] R. L. Bennett, M. I. Bruce, I. Matsuda, R. J. Roedens, R. G. Little, J. T. Veal, *J. Organomet. Chem.* **1974**, *67*, C72.
- [15] Diese Inversionsdauer ist typisch für ein chirales Schwefelzentrum: M. Mikolajczyk, J. Drabowicz, *Top. Stereochem.* **1982**, *13*, 333.
- [16] S. C. Huckett, R. J. Angelici, *Organometallics* **1988**, *7*, 1491.
- [17] Die Bestimmung der Kristallstruktur von **8** erfolgte unter denselben Bedingungen wie für **5a** und **5c**: **8**: triklin, Raumgruppe *P1*, *a* = 7.209 (2), *b* = 8.540 (2), *c* = 12.142 (4) Å, α = 69.58 (2), β = 79.97 (3), γ = 85.75 (2) $^\circ$, *V* = 689.7 (4) Å³, *Z* = 2, $\rho_{\text{ter.}}$ = 1.878 g cm⁻³, μ = 2.009 mm⁻¹, Meßbereich: $1.81^\circ \leq \theta \leq 24.99^\circ$; Zahl der verfeinerten Parameter: 190; unabhängige Reflexe: 2401; $I > 2\sigma(I)$; *R* = 0.0501, *wR2* = 0.1276, *GOF* = 0.968 [10c].
- [18] Im Zusammenhang mit der Insertion in einen Thiophenring sind zahlreiche zweikernige Komplexe bekannt (jedoch keine Strukturanaloga zu **8**): a) A. E. Ogilvy, M. Draganjac, T. B. Rauchfuss, S. R. Wilson, *Organometallics* **1988**, *7*, 1171; b) S. Luo, A. E. Ogilvy, T. B. Rauchfuss, A. L. Rheingold, S. R. Wilson, *ibid.* **1991**, *10*, 1002; c) W. D. Jones, R. M. Chin, *ibid.* **1992**, *11*, 2698; d) J. Chen, L. M. Daniels, R. J. Angelici, *J. Am. Chem. Soc.* **1991**, *113*, 2544; e) J. Chen, V. G. Young, R. J. Angelici, *ibid.* **1995**, *117*, 6362; f) K. M. K. Dailey, T. B. Rauchfuss, A. L. Rheingold, G. P. A. Yap, *ibid.* **1995**, *117*, 6396; g) A. Bacchi, C. Bianchini, V. Herrera, M. V. Jiménez, C. Mealli, A. Meli, S. Moneti, M. Peruzzini, R. A. Sánchez-Delgado, F. Vizza, *J. Chem. Soc. Chem. Commun.* **1995**, 921.
- [19] D. A. Lesch, J. W. Richardson, R. A. Jacobson, R. J. Angelici, *J. Am. Chem. Soc.* **1984**, *106*, 2901.

Berichtigungen*

In der Zuschrift „Tetrasupersilyldiindium(*In-In*) und -dithalium(*Tl-Tl*): (*t*Bu₃Si)₂M–M(Si*t*Bu₃)₂ (M = In, Tl)“ von N. Wiberg, K. Amelunxen, H. Nöth, M. Schmidt und H. Schwenk (*Angew. Chem.* **1996**, *108*, 110–112) wurde in Abbildung 1 fälschlicherweise die Struktur einer anderen Verbindung wiedergegeben. Die richtige Abbildung 1, die die Struktur der isomorphen Titelverbindungen im Kristall zeigt, ist im folgenden dargestellt. Darüber hinaus muß es in Gleichung (b) unter dem Reaktionspfeil „–4 NaBr“ statt „–4 NaCl“ heißen.

In der Zuschrift „Synthese von Fucopeptiden als Sialyl-Lewis^x-Mimeta“ von S.-H. Wu, M. Shimazaki, C.-C. Lin, L. Qiao, W. J. Moree, G. Weitz-Schmidt und C.-H. Wong (*Angew. Chem.* **1996**, *108*, 106–108) ist im letzten Absatz der IC₅₀-Wert von **1a** von 0.55 auf 0.50 zu korrigieren. Damit ändert sich auch der übernächste Satz. Er lautet nun: Da sich die biologischen Aktivitäten von **1a** und SLe^x (IC₅₀ = 0.50 mM) nicht unterscheiden, ...

In der Zuschrift „Bildung eines Zirconocen-Betain-Systems durch elektrophile Substitutionsreaktion mit B(C₆F₅)₃ am Cyclopentadienylliganden“ von J. Ruwwe, G. Erker und R. Fröhlich (*Angew. Chem.* **1996**, *108*, 108–110) enthält der experimentelle Teil falsche Angaben: Die relative Molekulmasse von C₃₆H₂₂F₁₅BZr ist 841.6, die ¹H-NMR-Spektren von **4** wurden bei 200 MHz aufgenommen, und die Raumgruppe, in der **4** kristallisiert, ist *P2*₁*2*₁*2*₁.

[*] Wegen eines technischen Fehlers in einem späten Stadium der Heftproduktion sind bei drei Beiträgen von Heft 1/96 Korrekturen erforderlich.

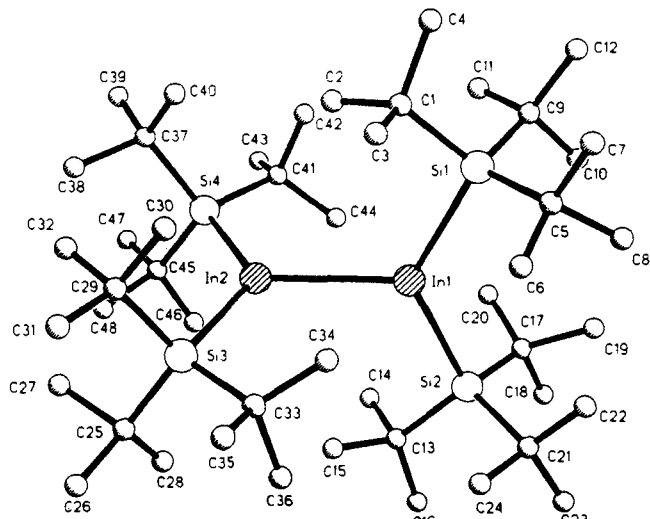


Abb. 1. Struktur von **2** im Kristall. Die H-Atome wurden der Übersichtlichkeit halber weggelassen. Wichtige Bindungslängen [Å] und -winkel [$^\circ$]: In1-In2 2.9217(11), In1-Si1 2.778(4), In1-Si2 2.779(4), In2-Si3 2.778(4), In2-Si4 2.778(4), Si1-C1 1.95(2), Si1-C5 1.94(2), Si1-C9 1.95(2) [Mittelwert der Si-C-Abstände 1.95], C1-C2 1.50(3), C1-C3 1.48(3), C1-C4 1.59(3); Si1-In1-Si2 129.43(11), Si3-In2-Si4 129.25(12), In2-In1-Si1 115.27(9), In2-In1-Si2 115.30(9), In1-In2-Si3 115.15(9), In1-In2-Si4 115.60(9), In1-Si1-C1 108.0(5), In1-Si1-C5 109.7(6), In1-Si1-C9 110.1(6), C1-Si1-C5 110.8(8), C1-Si1-C9 109.0(7), C5-Si1-C9 109.2(9) [Mittelwert der CSiC-Winkel 109.7]. – Struktur von **3** im Kristall (Tl statt In in Abb. 1). Die Verbindung ist isomorph zu **2**. Lediglich die Tl- und die Si-Lagen können mit hinreichender Genauigkeit angegeben werden. Bindungslängen [Å] und -winkel [$^\circ$]: Tl1-Tl2 2.966(2), Tl1-Si1 2.801(11), Tl1-Si2 2.765(12), Tl2-Si3 2.800(12), Tl2-Si4 2.790(11) [die Tl-Si-Bindungslängen sind im Rahmen der Fehlerrgrenzen gleich groß]; Si1-Tl1-Si2 130.3(4), Si3-Tl2-Si4 130.1(3), Tl2-Tl1-Si1 114.4(2), Tl2-Tl1-Si2 115.2(3), Tl1-Tl2-Si3 114.7(2), Tl1-Tl2-Si4 115.2(3) [die Bindungswinkel sind innerhalb der Fehlerrgrenzen gleich groß].